

# روش سطوح همتراز مرتبه دوم در شبیه‌سازی عددی

## پسروی گرین

محمد مهدی قیصری<sup>۱</sup> و سید مهدی میرساجدی<sup>۲\*</sup>

۱- سازمان صنایع دفاع

۲- گروه مهندسی هوافضا، دانشگاه شهید بهشتی

\* تهران، کدپستی: ۱۹۸۳۹۶۹۴۱۱

m\_mirsajedi@sbu.ac.ir

در این تحقیق، پسروی گرین‌های دو بعدی موتورهای سوخت جامد با روش سطوح همتراز مرتبه دوم شبیه‌سازی شده و این روش از نظر نحوه پیاده‌سازی، میزان دقت و زمان اجرا با روش سطوح همتراز مرتبه اول مقایسه شده است. بدین منظور، با درنظر گرفتن الزامات کلی روش سطوح همتراز و با هدف تحلیل پسروی، الگوریتمی مشکل از پنج گام شبکه‌بندی، محاسبه تابع حداقل فاصله، تعیین وضعیت نسبی، محاسبه مشخصه‌های بالستیکی و استخراج نتایج طراحی می‌شود. سپس در مرحله به روزرسانی تابع فاصله که در گام چهارم رخ می‌دهد، در یک مرحله از معاللات مرتبه اول و در مرحله بعد از معاللات مرتبه دوم استفاده می‌شود. برای اعتبارسنجی، ابتدا پسروی سه گرین ساده استوانه‌ای، چهارضلعی و شش‌ضلعی در نظر گرفته شده و نتایج به ازای دو شبکه ریز و درشت با نتایج تحلیلی مقایسه می‌شود؛ سپس با درنظر گرفتن چند گرین کاربردی پیچیده، تأثیر متقابل هندسه گرین، نوع سوزش، روش تحلیل و دقت نتایج سنجیده می‌شود. نتایج به دست آمده نشان می‌دهد روش سطوح همتراز مرتبه دوم در تحلیل گرین‌های پیچیده، دقت بالاتری نسبت به روش مرتبه اول دارد، اما در گرین‌های ساده با وجود زمان اجرای بالاتر، تفاوت چشمگیری در نتایج دیده نمی‌شود. بنابراین، با مصالحه‌ای بین زمان اجرا و دقت حل، پیشنهاد می‌شود که تحلیل پسروی گرین‌های ساده با روش مرتبه اول و گرین‌های پیچیده با روش مرتبه دوم صورت پذیرد.

**واژه‌های کلیدی:** تحلیل عددی، پسروی گرین، سطوح همتراز، روش مرتبه اول، روش مرتبه دوم

### علائم و اختصارات

$G$	تابع شار عددی	$A_p$	سطح مقطع گذرگاه جریان
$g_{EO}$	تابع شار عددی روش اینکوییست-اوشر	$D^+$	مشتق پیشرو مرتبه اول
$H$	همیلتونین	$D^-$	مشتق پسرو مرتبه اول
$m$	تابع سوئیچ روش سطوح همتراز مرتبه دوم	$D^{\pm x \pm x}$	مشتق پیشرو (پسرو) مرتبه دوم در راستای $x$
$N$	تعداد پرههای گرین	$D^{\pm y \pm y}$	مشتق پیشرو (پسرو) مرتبه دوم در راستای $y$
$\bar{n}$	بردار یکه عمود بر منحنی	$D^{+x-x}$	مشتق مرکزی مرتبه دوم در راستای $x$
$P_b$	محیط سوزش	$D^{+y-y}$	مشتق مرکزی مرتبه دوم در راستای $y$
$R$	شعاع موتور	$EO$	روش اینکوییست-اوشر برای تقریب عددی شار
$\dot{r}$	رنخ پسروی گرین	$F$	تابع سرعت حرکت مرز در جهت قائم
$w$	ضخامت جان گرین		

- روش میدان فازی<sup>۷</sup> [۷]

- روش سطوح هم‌تراز<sup>۸</sup>

با توجه به اهمیت مسئله پسروی گرین همواره مطالعاتی در این زمینه انجام شده است؛ در سال ۱۹۸۹، ساینتوت<sup>۹</sup> و همکارانش یک کد کامپیووتری را برای تحلیل پسروی گرین به صورت تابعی از فاصله و نرخ سوزش محلی ارائه دادند. اشکال این روش این بود که فقط در هندسه‌های متقارن قابل کاربرد بود [۸].

در سال ۱۹۹۴، هجل<sup>۱۰</sup> و همکارانش با استفاده از روش نشان‌گر و سلول تحلیل پسروی گرین‌های دوبعدی را انجام دادند. روش حل آن‌ها فقط قابلیت کاربرد روی هندسه‌های متقارن را داشت و نتایج دقت بالایی نداشتند [۹].

در سال ۲۰۰۵، ویلکاس<sup>۱۱</sup> و همکارانش با استفاده از روش تابع حداقل فاصله شبیه‌سازی پسروی سطح سوزش گرین را انجام دادند. نتایج نشان داد که این روش دارای دقت کافی و زمان محاسبه پذیرفت‌نی است ولی اشکالی که در نتایج ذکر شده، عدم پوشش هندسه‌های پیچیده بود [۱۰].

در سال ۲۰۰۸، فاوینی<sup>۱۲</sup> و همکارانش بالستیک داخلی موتور زفیرو<sup>۱۳</sup> (موتور مرحله سوم لانچر وگا<sup>۱۴</sup>) را شبیه‌سازی کردند. در این تحقیق برای تحلیل پسروی از روش سطوح هم‌تراز و برای استخراج مشخصه‌های بالستیکی گرین از خواص توابع ضمنی (استفاده از توابع هویساید و دلتای دیراک) استفاده شده است. در این تحقیق مشخصه‌های بالستیکی موتور با داده‌های تجربی مقایسه شد که توافق خوبی را نشان دادند [۱۱].

در سال ۲۰۱۱، کاوالینی<sup>۱۵</sup> و همکارانش یک کد عددی به نام "GREG<sup>۱۶</sup>" را بر اساس روش سطوح هم‌تراز ارائه کردند. آن‌ها با لینک کردن این کد با کد تحلیل بالستیک داخلی موتور، به تحلیل جریان داخل موتور پرداختند و با مقایسه نتایج خود با نتایج آزمایشگاهی جواب‌هایی با دقت بالا به دست آوردند [۱۲].

در سال ۲۰۱۲، قاسمی و برخوردار پسروی چند گرین سه‌بعدی کاربردی را به کمک روش سطوح هم‌تراز مرتبه اول شبیه‌سازی کردند. در این تحقیق با مدل‌سازی سوزش غیریکنواخت و تغییر شرایط مرزی اتمام سوزش، توانایی‌های بالای روش سطوح هم‌تراز نشان داده شده است [۱۳].

$\varphi$	تابع سطوح هم‌تراز
$r(r')$	شعاع انحنای گرین
$\varepsilon(\varepsilon')$	نسبت زاویه‌ای گرین
$\eta$	یکی از ۷ پارامتر مستقل گرین ستاره
$\beta(\beta')$	پارامتر زاویه‌ای گرین شاخه‌درختی

## مقدمه

با شروع احتراق در یک موتور سوت جامد، سطح اولیه گرین در جهت عمود بر سطح سوزش پسروی می‌کند و هندسه گرین را دست‌خوش تغییر می‌کند؛ بنابراین، طی عملکرد موتور، سطح سوزش و حجم محفظه احتراق، همواره تغییر می‌کنند.

به‌منظور بررسی پارامترهای جریان داخل موتور موشک اعم از فشار، چگالی، سرعت، دما و ...، باید معادلات جریان در داخل محفظه احتراق موتور حل شود؛ از آنجاکه حجم کتربل مربوط به حاگر جریان، همان سطح گذرگاه جریان یا حجم محفظه احتراق است و این سطح طی زمان عملکرد موتور (پسروی گرین) در حال تغییر است، بنابراین، پیش‌بینی دقیق خصوصیات جریان داخل موتور منوط به تعیین دقیق مساحت سطح سوزش و حجم کتربل جریان در هر لحظه است [۱ و ۲].

تحلیل پسروی گرین، در واقع بررسی مرز متحرک و صرفاً یک تحلیل ریاضی و عددی است. بنابراین، تغییر شکل هندسی گرین، صرف‌نظر از جریان داخلی و اثرات حرارتی انجام شده و اطلاعات به‌دست آمده از تحلیل پسروی برای تحلیل بالستیک داخلی موتور مورد استفاده قرار می‌گیرد [۳].

به طور کلی، پسروی گرین به سه روش تحلیلی [۴]، ترسیمی و عددی قابل بررسی است؛ به دلیل عدم توانایی روش‌های تحلیلی و ترسیمی در بررسی گرین‌های با اشکال پیچیده و قابلیت‌های محدود این دو روش، بهتر است از روش‌های عددی استفاده شود. روش‌های عددی عموماً مرز متحرک بین گاز و پیشران جامد را مورد بررسی قرار می‌دهند و بر این اساس به دو دسته‌های تعریف مرز<sup>۳</sup> (لاگرانژی) و تسخیر مرز<sup>۴</sup> (اویلری) تقسیم می‌شوند. در روش‌های تسخیر مرز، طی گسترش مرز نقاط شبکه ثابت می‌مانند؛ روش‌های معروف تسخیر مرز عبارتند از:

- روش نشان‌گر و سلول<sup>۵</sup> [۵]

- روش حجم سیال<sup>۶</sup> [۶]

- 10. Hejł
- 11. Willcox
- 12. Favini
- 13. Zefiro 9
- 14. Vega
- 15. Cavallini
- 16. Grain Regression Model

- 3. Interface Tracking Method
- 4. Interface Capturing Method
- 5. Marker and Cell Method
- 6. Volume of Fluid Method: VOF
- 7. Phase Field Method
- 8. Level Set Method
- 9. Saintout

ابتدا حالت یک بعدی بررسی می‌شود که در این صورت  $H(u) = \sqrt{u^2} + H(\varphi_x) = 0$  خواهد بود.

از طرف دیگر فرم یک بعدی و اسکالار قانون بقاء هاپربولیک به صورت رابطه (۶) در نظر گرفته شده و با استفاده از تقریب اختلاف محدود پیش رو برای ترم اول و تقریب اختلاف محدود مرکزی برای ترم دوم معادله بقاء به صورت رابطه (۷) بازنویسی می‌شود.

$$u_t + [G(u)]_x = 0 \quad (6)$$

$$\frac{u_i^{n+1} - u_i^n}{\Delta t} = - \frac{g(u_i^n, u_{i+1}^n) - g(u_{i-1}^n, u_i^n)}{\Delta x} \quad (7)$$

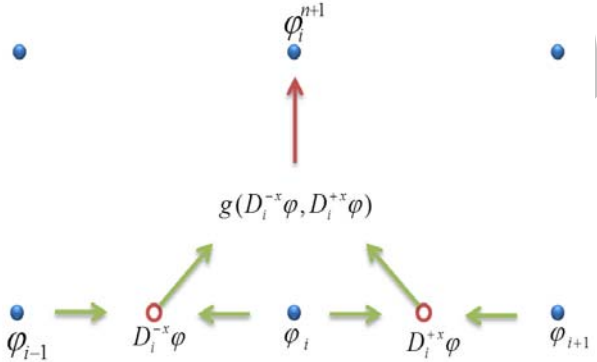
در سمت راست رابطه (۷)، تنها اختلاف مرکزی به تابع شار عددی  $g$  اعمال شده است؛ بنابراین، وقتی اندازه شبکه به سمت صفر میل کند،  $g(u, u) = G(u)$  می‌شود.

برای حل معادله سطوح هم تراز، فرض می‌شود  $\varphi_x = u$ ، در این صورت می‌توان نوشت:

$$\varphi_t + H(u) = 0 \quad (8)$$

با توجه به شبکه محاسباتی شکل (۱) برای به دست آوردن  $\varphi_i^{n+1}$  باید  $\varphi_i^n$  و متعاقباً  $H(u_i^n)$  معلوم باشند. بدین منظور برای از یک مقدار تقریبی که توسط تابع شار عددی  $g$  تعیین شده، استفاده می‌شود:

$$H(u) \approx g(u_{i-1/2}, u_{i+1/2}) \quad (9)$$



شکل ۱- به روزرسانی  $\varphi$  از طریق همیلتونین عددی.

تنها پارامتر باقیمانده، محاسبه مقادیر  $u$  در وسط سلول‌های محاسباتی است؛ از آنجا که  $u = \varphi_x$ ، برای یافتن مقادیر جدید از یک تقریب اختلاف مرکزی در  $\varphi$  استفاده می‌شود. بنابراین با استفاده از شکل (۱) می‌توان به رابطه (۱۰) رسید.

$$\varphi_i^{n+1} = \varphi_i^n - \Delta t g\left(\frac{\varphi_i^n - \varphi_{i-1}^n}{\Delta x}, \frac{\varphi_{i+1}^n - \varphi_i^n}{\Delta y}\right) \quad (10)$$

در ادامه، مقادیر شار باید به گونه‌ای انتخاب شوند که شکل بقایی معادله حفظ و شرایط بی‌نظمی نیز ارضاء شود و علاوه بر آن یک جواب هموار با دقت بالا و به دور از ناپیوستگی ایجاد شود. یکی

در سال ۲۰۱۲، مشیراستخاره و همکارانش با ترکیب روش‌های المان برشی و سطوح هم تراز مرتبه اول توانستند به دقت بالایی در تحلیل پسروی گرین دست یابند [۱۴].

در سال ۲۰۱۳، قیصری و میرساجدی با دو هدف کاهش زمان اجرا و افزایش دقت حل، الگوریتم تحلیل پسروی با روش سطوح هم تراز مرتبه اول را بهبود دادند [۱۵].

از بررسی منابع مختلفی که در زمینه تحلیل عددی پسروی گرین فعالیت داشته‌اند، دو نکته قابل استفاده است؛ اول این که بین روش‌های عددی، روش تسخیر مرز سطوح هم تراز در سال‌های اخیر بسیار مورد توجه محققان قرار گرفته و دقت بالایی را در پیگیری مرز از خود نشان داده است و نکته دوم اینکه در همه مطالعات گذشته تنها روش سطوح مرتبه اول مورد توجه قرار گرفته و روش مرتبه دوم بررسی نشده است. با توجه به این موارد، در این تحقیق، معادلات مرتبه دوم نیز پیاده‌سازی شده و نتایج حاصله از نظر دقت و زمان اجرا با نتایج معادلات مرتبه اول مقایسه می‌شوند.

## تئوری و معادلات حاکم

روش سطوح هم تراز، زیرمجموعه‌ای از روش‌های تسخیر مرز است که در آن شبکه محاسباتی ایجاد شده بر روی جریان ثابت بوده و ذرات جریان توسط شبکه تسخیر می‌شوند.

ایده اصلی روش سطوح هم تراز، درنظر گرفتن موقعیت اولیه مرز به عنوان یک سطح تراز صفر، از یک تابع با بعد بالاتر  $\varphi$  است. برای به دست آوردن معادله حرکت این تابع سطح تراز  $\varphi$  و ترکیب سطح تراز صفر  $\varphi$  با توسعه مرز، ابتدا لازم است که مقدار سطح تراز یک جزء روی مرز صفر باشد از این رو:

$$\varphi(x(t), t) = 0 \quad (1)$$

و با استفاده از قانون مشتق زنجیره‌ای می‌توان نوشت:

$$\varphi_t + \nabla \varphi(x(t), t) \cdot x'(t) = 0 \quad (2)$$

از آنجا که  $F$  سرعت حرکت مرز در جهت عمود بر آن و به سمت بیرون است و  $n = \nabla \varphi / |\nabla \varphi|$  که  $x'(t) \cdot n = F$ ، بنابراین،

معادله توسعه مرز  $\varphi$  به صورت زیر به دست می‌آید:

$$\varphi(x, t = 0) \quad \text{شرط اولیه} \quad \varphi_t + F |\nabla \varphi| = 0, \quad (3)$$

این رابطه سطوح هم تراز وابسته به زمان است که توسط ستیان ارائه شده است [۱۶].

برای تقریب عددی معادله روش سطوح هم تراز، ابتدا رابطه (۲) به شکل عمومی معادله همیلتونین نوشته می‌شود:

$$\varphi_t + H(\varphi_x, \varphi_y) = 0 \quad (4)$$

در معادله فوق همیلتونین به صورت زیر تعریف می‌شود:

$$H(u, v) = \sqrt{u^2 + v^2} \quad (5)$$

$$\begin{aligned}\nabla^+ &= [\max(A, 0)^2 + \min(B, 0)^2 + \\ &\quad \max(C, 0)^2 + \min(D, 0)^2]^{1/2} \\ \nabla^- &= [\max(B, 0)^2 + \min(A, 0)^2 + \\ &\quad \max(D, 0)^2 + \min(C, 0)^2]^{1/2}\end{aligned}\quad (17)$$

که A، B، C و D به کمک روابط (۱۸) محاسبه می‌شوند:

$$\begin{aligned}A &= D_{ijk}^{-x} + \frac{\Delta x}{2} m(D_{ijk}^{-x-x}, D_{ijk}^{+x-x}) \\ B &= D_{ijk}^{+x} - \frac{\Delta x}{2} m(D_{ijk}^{+x+x}, D_{ijk}^{+x-x}) \\ C &= D_{ijk}^{-y} + \frac{\Delta y}{2} m(D_{ijk}^{-y-y}, D_{ijk}^{+y-y}) \\ D &= D_{ijk}^{+y} - \frac{\Delta y}{2} m(D_{ijk}^{+y+y}, D_{ijk}^{+y-y})\end{aligned}\quad (18)$$

در این روابط تابع سوئیچ به صورت رابطه (۱۹) تعریف می‌شود:

$$m(x, y) = \begin{cases} 0 & xy < 0 \\ x & \text{if } |x| \leq |y| \\ y & \text{if } |x| > |y| \end{cases} \quad (19)$$

### شبیه‌سازی پسروی گرین

الگوریتمی که برای تحلیل پسروی گرین‌های دوبعدی با روش سطوح همتراز استفاده می‌شود، از پنج گام تشکیل شده است [۱۵ و ۱۶].

#### گام ۱- شبکه‌بندی

در این گام ابتدا، اطلاعات شبکه پورت (شبکه اولیه) که بیرون از کد اصلی و توسط یک نرمافزار تولید شبکه ایجاد شده، به صورت یک فایل عددی فراخوانی می‌شود. سپس با طبقه‌بندی داده‌های شبکه اولیه، ابعاد گرین تعیین می‌شود و بر این اساس در صفحه‌ای که موتور در آن واقع شده یک شبکه کارترین ایجاد می‌شود.

#### گام ۲- تعیین تابع حداقل فاصله

برای تحلیل پسروی با روش سطوح همتراز، ابتدا لازم است موقعیت اولیه مرز یا سطح تراز صفر تعیین شود که بدین منظور از تابع حداقل فاصله استفاده می‌شود. برای تعیین تابع فاصله، فاصله هر گره شبکه کارترین با تمام نقاط شبکه اولیه محاسبه می‌شود و کمترین فاصله محاسبه شده به عنوان تابع فاصله برای گره مورد نظر در شبکه کارترین ( $\varphi_{ij}$ ) در نظر گرفته می‌شود و این عمل برای کلیه نقاط شبکه ثانویه تکرار می‌شود.

#### گام ۳- تعیین وضعیت نسبی نقاط

برای تعیین علامت تابع فاصله، باید موقعیت هر یک از نقاط شبکه کارترین نسبت به مرز گرین سنجیده شود. این کار به کمک

از ساده‌ترین تقریب‌های عددی شار روش انکویست- اوشر (EO) است. با کاربرد روش EO برای معادله برگز که در آن  $u^2 = G(u)$ ، با استفاده از رابطه (۱۱) می‌توان نوشت:

$$g_{EO}(u_1, u_2) = (\max(u_1, 0)^2 + \min(u_2, 0)^2) \quad (11)$$

بنابراین با درنظر گرفتن همیلتونین  $H(u) = \sqrt{u^2}$  و با استفاده از رابطه (۱۱) می‌توان نوشت:

$$\varphi_i^{n+1} = \varphi_i^n - \Delta t (\max(D_i^{-x}, 0)^2 + \min(D_i^{+x}, 0)^2)^{1/2} \quad (12)$$

این رابطه، روش سطوح همتراز یک‌بعدی ارائه شده توسط ستیان است [۱۶] و تا زمانی که همیلتونین در هر بعد فضا متقاضی باشد، برای هر متغیر در ابعاد دیگر می‌تواند به کار گرفته شود.

برای بدست آوردن معادله سطوح همتراز در فضای دوبعدی، با در نظر گرفتن تابع سرعت F، معادله همیلتونین  $\varphi_t + H(\varphi_x, \varphi_y) = 0$  به صورت زیر تقریب زده خواهد شد:

$$\begin{aligned}\varphi_{i,j}^{n+1} &= \varphi_{i,j}^n - \Delta t g\left(\frac{\varphi_{i,j}^n - \varphi_{i-1,j}^n}{\Delta x}, \frac{\varphi_{i+1,j}^n - \varphi_{i,j}^n}{\Delta x}, \right. \\ &\quad \left. \frac{\varphi_{i,j}^n - \varphi_{i,j-1}^n}{\Delta y}, \frac{\varphi_{i,j+1}^n - \varphi_{i,j}^n}{\Delta y}\right)\end{aligned}\quad (13)$$

و با کاربرد روش EO خواهد شد:

$$\begin{aligned}g(u_1, u_2, v_1, v_2) &= (\max(u_1, 0)^2 + \min(u_2, 0)^2 \\ &\quad + \max(v_1, 0)^2 + \min(v_2, 0)^2)\end{aligned}\quad (14)$$

در نهایت، ستیان شکل کلی معادله سطوح همتراز دوبعدی را به صورت زیر ارائه کرد:

$$\varphi_{i,j}^{n+1} = \varphi_{i,j}^n - \Delta t (\max(F, 0) \nabla^+ + \min(F, 0) \nabla^-) \quad (15)$$

#### سطوح همتراز مرتبه اول

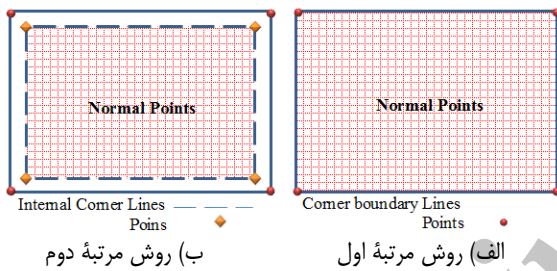
در روش سطوح همتراز مرتبه اول دو پارامتر  $\nabla^-$  و  $\nabla^+$  با استفاده از رابطه (۱۶) تعریف و در رابطه (۱۵) جایگذاری می‌شوند:

$$\begin{aligned}\nabla^+ &= [\max(D_{i,j}^{-x} \varphi_{i,j}^n, 0)^2 + \min(D_{i,j}^{+x} \varphi_{i,j}^n, 0)^2 + \\ &\quad \max(D_{i,j}^{-y} \varphi_{i,j}^n, 0)^2 + \min(D_{i,j}^{+y} \varphi_{i,j}^n, 0)^2]^{0.5} \\ \nabla^- &= [\max(D_{i,j}^{+x} \varphi_{i,j}^n, 0)^2 + \min(D_{i,j}^{-x} \varphi_{i,j}^n, 0)^2 + \\ &\quad \max(D_{i,j}^{+y} \varphi_{i,j}^n, 0)^2 + \min(D_{i,j}^{-y} \varphi_{i,j}^n, 0)^2]^{0.5}\end{aligned}\quad (16)$$

#### سطوح همتراز مرتبه دوم

با بهره‌گیری از افزایش دقت در مسائل غیرنوسانی، می‌توان معادله سطوح همتراز را برای مرتبه بالاتر گسترش داد [۱۷]. در این روش هر زمان یک شوک تشخیص داده شود خود به خود حل متوقف شده و در غیر این صورت نوسانات با تقریب مرتبه بالاتر حداقل می‌شود. شکل کلی این روش همان رابطه (۱۵) است، با این تفاوت که  $\nabla^+$  و  $\nabla^-$  به صورت زیر تعریف می‌شوند:

- در روش مرتبه اول مشتقات پیشرو و پسرو تنها شامل  $D_{i,j}^{\pm x}$ ,  $D_{i,j}^{\pm y}$  است، اما در روش مرتبه دوم علاوه بر مشتقات مرتبه اول، مشتقات  $D_{i,j}^{\pm x \pm x}$ ,  $D_{i,j}^{\pm x \pm y}$ ,  $D_{i,j}^{+x-x}$ ,  $D_{i,j}^{+y-y}$  نیز باید پیاده‌سازی شود.
- بر خلاف روش مرتبه اول، در روابط مرتبه دوم یکتابع سوئیچ وجود دارد (معادله ۱۹) که باید مدل‌سازی شود.
- با توجه به عدم تعریف مشتق پیشرو یا پسرو در نقاط مرزی، در پیاده‌سازی روش مرتبه اول نقاط شبکه ثانویه به سه گروه خطوط گوشه مرزی، نقاط گوشه مرزی و نقاط عادی تقسیم می‌شوند (شکل ۳-الف)، اما در روش مرتبه دوم از آنجا که مرتبه مشتقات بالاترند، نقاط شبکه ثانویه به پنج گروه خطوط گوشه مرزی، خطوط گوشه داخلی، نقاط گوشه مرزی، نقاط گوشه داخلی و نقاط عادی تقسیم می‌شوند (شکل ۳-ب).



الف) روش مرتبه اول

شکل ۳- گروه‌بندی نقاط شبکه ثانویه بر اساس تعریف مشتق پیشرو و پسرو در هر گره

با توجه به موارد ذکر شده، باید گفت پیاده‌سازی روش سطوح هم تراز مرتبه دوم بسیار دشوارتر و پیچیده‌تر از روش مرتبه اول است اما با هدف بهبود دقت و مقایسه نتایج با روش مرتبه اول، این مهم انجام می‌شود.

### اعتبارسنجی و تحلیل نتایج

منطقی‌ترین راه برای ارزیابی عملکرد روش سطوح هم تراز مرتبه دوم، مقایسه نتایج عددی این روش با نتایج تحلیلی است. با توجه به این که در پیشتر گرین‌های متداول دو بعدی، رابطه‌ای تحلیلی برای توصیف پسروی وجود ندارد، سه گرین استوانه‌ای، چهارضلعی و ششضلعی با مشخصات جدول (۱) برای اعتبارسنجی انتخاب می‌شوند [۴].

علاوه بر داشتن حل تحلیلی، در انتخاب این گرین‌ها دو دلیل دیگر مورد توجه بوده است:

- ۱- گرین‌های چهارضلعی و ششضلعی دارای نقاط گوشه هستند و پیگیری نقاط گوشه از مهم‌ترین و دشوارترین نقاط در یک روش تسخیر مرز محسوب می‌شوند، به طوری که اگر یک

المان‌های مثلثی شبکه اولیه و روش ضرب خارجی انجام می‌شود. پس از مشخص شدن وضعیت نسبی نقاط تابع فاصله با توجه به قوانین زیر تصحیح می‌شود:

- ✓ اگر نقطه شبکه در داخل مرز واقع شده باشد، مقدار حداقل فاصله در ۱- ضرب می‌شود.
- ✓ اگر نقطه شبکه در خارج از مرز باشد، مقدار حداقل فاصله بدون تغییر باقی ماند.
- ✓ اگر نقطه شبکه دقیقاً روی مرز قرار گیرد، حداقل فاصله صفر درنظر گرفته می‌شود.

### گام ۴- محاسبه مشخصه‌های بالستیکی

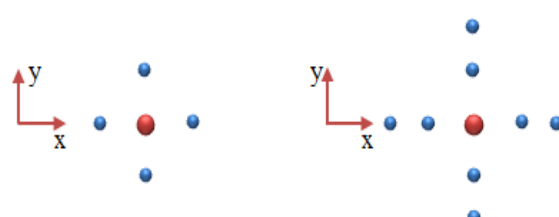
با پسروی گرین مشخصه‌های بالستیکی سطح سوزش و مساحت گذرگاه جریان تغییر می‌کنند، بنابراین لازم است در هر گام زمانی این مشخصه‌ها محاسبه شوند. بدین منظور در هر گام زمانی ابتدا مقدار تابع فاصله ( $\varphi_{ij}$ ) به کمک معادله سطوح هم تراز (رابطه ۱۵) به روزرسانی می‌شود؛ سپس با استفاده از مقادیر جدید تابع فاصله و روش المان برشی پارامترهای سطح سوزش و مساحت گذرگاه جریان محاسبه می‌شود [۱۴ و ۱۵].

### گام ۵- استخراج نتایج

در انتهای الگوریتم، داده‌های مرتبه با شبکه‌های تشکیل شده، پارامترهای بالستیکی، بروفیل پسروی و زمان اجرا جمع‌بندی و استخراج می‌گردد.

با توجه به الگوریتم تشریح شده، تفاوت دو الگوریتم سطوح هم تراز مرتبه اول و دوم در گام ۴ و در نحوه به روزرسانی تابع فاصله است. بر این اساس، پیاده‌سازی الگوریتم روش سطوح هم تراز مرتبه اول و دوم از جنبه‌های زیر تفاوت دارند:

- در روش مرتبه اول به روزرسانی تابع فاصله تنها به کمک تزدیک‌ترین نقاط مجاور است (۴ گره) اما روش مرتبه دوم از نقاط بیشتری استفاده می‌کند (شکل ۲).

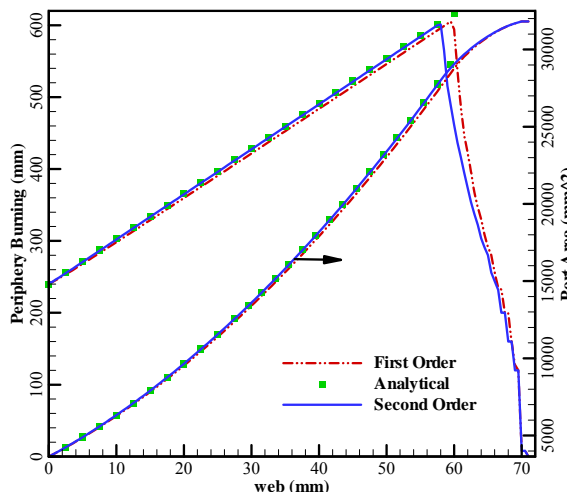


الف) روش مرتبه دوم

الف) روش مرتبه اول

شکل ۲- نقاط مورد استفاده برای به روزرسانی تابع فاصله

- (b) به ازای یک شبکه‌بندی یکسان، روش مرتبه دوم دقت بالاتری در محاسبه محیط سوزش و سطح گذرگاه جریان دارد؛
  - (c) زمان اجرای روش مرتبه دوم بیشتر از روش مرتبه اول است؛
  - (d) عملکرد روش مرتبه دوم وابستگی کمتری به ابعاد شبکه دارد، به نحوی که با درشت شدن ابعاد شبکه، دقت روش مرتبه اول کاهش محسوسی می‌یابد اما دقت روش مرتبه دوم تغییر چندانی نمی‌کند.
  - (e) تأثیر روش مرتبه دوم در کاهش درصد خطای  $A_p$  بیشتر از  $P_b$  است؛
  - (f) بین سه گرین مفروض بیشترین و کمترین تأثیر روش مرتبه دوم به ترتیب برای گرین‌های استوانه‌ای و شش‌ضلعی است.
- نتایج a تا d با توجه به مفهوم روش سطوح هم‌تراز مرتبه دوم به سادگی توجیح پذیرند؛ مورد a با توجه به ساختار و الگوریتم یکسان دو روش، حتی پیش از مشاهده نتایج نیز قابل پیش‌بینی بود؛ شکل (۴) با تأکید بر نتیجه a نشان می‌دهد به ازای یک شبکه‌بندی  $256 \times 256$  با  $256 \times 256$  گره مرزی، هر دو روش رفتار مشابهی در پیگیری مرز دارند.



شکل ۴- مقایسه روش مرتبه اول و دوم در تحلیل پسروی گرین مربعی

همان‌گونه که پیشتر در شکل (۲) نشان داده شد، در روش سطوح هم‌تراز مرتبه دوم از ۸ گره برای بهروزرسانیتابع فاصله استفاده می‌شود، در حالی که در روش مرتبه اول تنها ۴ گره مورد استفاده قرار می‌گیرد. این اختلاف ساختاری اگرچه نتایج b و c را توجیه می‌کند، اما می‌تواند این تردید را به وجود آورد که در شبکه‌های درشت به دلیل فاصله زیاد گره‌ها، ممکن است روش مرتبه دوم دچار خطأ شود. نتایج جدول (۳) و مورد d با رد این پیش‌بینی نشان می‌دهند که همواره روش مرتبه دوم دقت بالاتری دارد؛ بنابراین در شبکه‌های درشت استفاده از روش مرتبه دوم در اولویت قرار دارد.

برای توجیه مورد e پروفیل پسروی گرین‌های مریع و شش‌ضلعی به صورت شکل (۵) در نظر گرفته می‌شوند؛ بررسی این

روش عددی تسخیر مرز بتواند نقاط گوشه را با دقت پیگیری کرده و دچار خطأ نشود، روش عددی مطلوبی خواهد بود [۱۷]؛  
- با وجود سه نوع گوشه تیز (۹۰ درجه)، متوسط (۱۲۰ درجه) و پیچ (گرین استوانه‌ای) می‌توان تأثیر گوشه‌ها را در دقت پسروی هر روش بررسی کرد.

جدول ۱- مشخصات گرین‌های مفروض برای اعتبارسنجی

نوع گرین	شعاع خارجی (mm)	شعاع داخلی / طول ضلع (mm)	ضخامت جان (mm)
استوانه‌ای	۱۱۱	۴۱	۷۰
چهارضلعی	۱۴۱	۱۰۰	۷۰
شش‌ضلعی	۹۰	۲۰	۷۰

با در نظر گرفتن گرین‌های جدول (۱)، تحلیل عددی پسروی به ازای دو شبکه با ابعاد ریز و درشت انجام شده و نتایج دو روش سطوح هم‌تراز مرتبه اول و دوم در جدول‌های (۲) و (۳) نسبت به حل تحلیلی سنجیده می‌شود.

جدول ۲- ارزیابی دقت و زمان اجرای روش سطوح هم‌تراز مرتبه اول

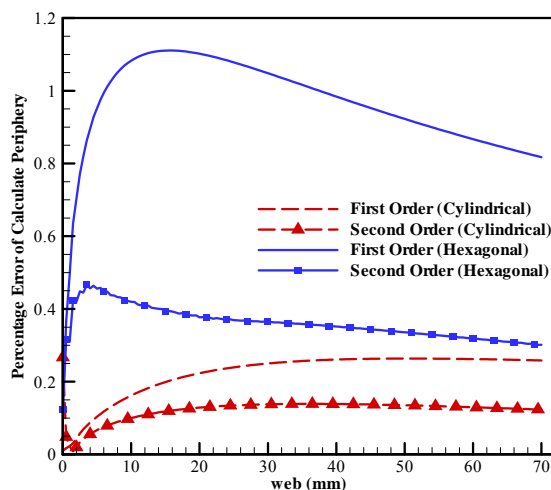
اندازه شبکه	نوع گرین	حداکثر درصد خطای $P_b$	حداکثر درصد خطای $A_p$	زمان اجرا
$256 \times 256$ گره	استوانه‌ای	۰/۱۹	۰/۳۹	۳۰
	چهارضلعی	۱/۳۷	۱/۶۴	۱۶۹
	شش‌ضلعی	۱/۱۱	۱/۲۵	۱۶
$128 \times 128$ گره	استوانه‌ای	۰/۲۲	۰/۴۵	۱۱
	چهارضلعی	۱/۶۳	۱/۸۸	۴۰
	شش‌ضلعی	۱/۳۱	۱/۵۲	۶

جدول ۳- ارزیابی دقت و زمان اجرای روش سطوح هم‌تراز مرتبه دوم

اندازه شبکه	نوع گرین	حداکثر درصد خطای $P_b$	حداکثر درصد خطای $A_p$	زمان اجرا
$256 \times 256$ گره	استوانه‌ای	۰/۰۸	۰/۱۸	۳۶
	چهارضلعی	۰/۸۳	۰/۶۸	۱۸۰
	شش‌ضلعی	۰/۴۶	۰/۴۵	۲۱
$128 \times 128$ گره	استوانه‌ای	۰/۱۱	۰/۲۴	۱۵
	چهارضلعی	۰/۹۸	۱/۳۲	۴۵
	شش‌ضلعی	۰/۵۷	۰/۸۶	۹

با بررسی داده‌های جدول‌های (۲) و (۳) می‌توان به نتایج ذیل رسید:

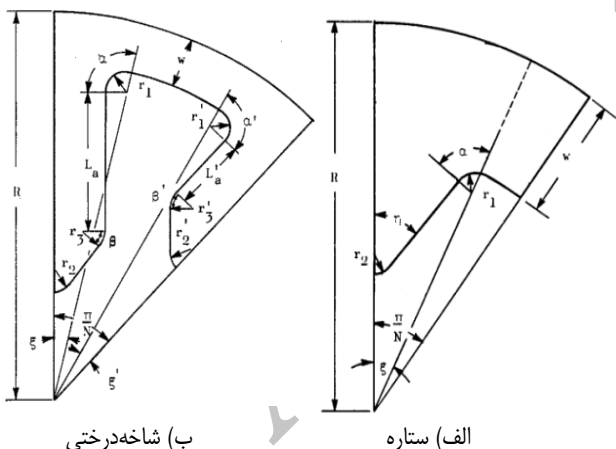
(a) هر دو روش سطوح هم‌تراز مرتبه اول و دوم دقت مناسبی در تحلیل پسروی دارد؛



شکل ۶- مقایسه درصد خطأ در محاسبه  $P_b$  با دو روش مرتبه اول و دوم

#### (الف) گرین‌های با هندسه پیچیده

به منظور ارزیابی روش سطوح هم تراز مرتبه دوم در مواجهه با پیچیدگی‌های هندسی، دو گرین کاربردی ستاره و شاخه درختی شش پر ( $N=6$ ) با مشخصات جدول (۴) و شکل (۷) در موتوری با شعاع  $150\text{ mm}$  ( $R=150\text{ mm}$ ) بررسی می‌شوند.

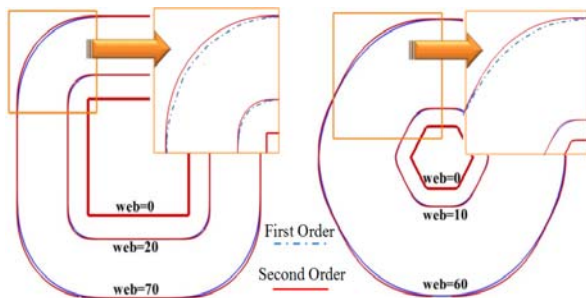


شکل ۷- پارامترهای مؤثر در ترسیم دو گرین کاربردی مفروض [۱]

جدول ۴- پارامترهای دو گرین مفروض در شکل ۷

گرین ستاره						
N	R	W	$r_1$	$r_2$	$\eta$	$\varepsilon$
۶	$0.83$	۶۰	۱۰	۸	$۳۳/۵۳$	$۰.۸۳$
گرین شاخه درختی						
W	$r_1 = r_1'$	$r_2 = r_2'$	$r_3 = r_3'$	$\beta = \beta'$	$l_a = l_a'$	$\varepsilon = \varepsilon'$
۴۰	۵	$۲/۵۱$	۶	۴۰	$۴۶/۷$	$۰.۲۶$

پروفیل‌ها نشان می‌دهد که اختلاف دو روش تنها مربوط به توصیف نقاط گوش است و در سایر نقاط دو روش رفتار مشابهی دارند. بنابراین، با مقایسه عملکرد دو روش در توصیف نقاط گوش می‌توان علت تأثیر بیشتر روش مرتبه دوم بر  $A_p$  را دریافت.



شکل ۵- مقایسه پروفیل پسروی گرین‌های چهارضلعی و شش‌ضلعی با دو روش مرتبه اول و دوم

اختلاف عملکرد سطوح هم تراز مرتبه اول و دوم مربوط به توصیف نقاط گوش است و مقدار این اختلاف بستگی به دو عامل «نوع گوش» (میزان تیزی) و «تعداد گوشه‌ها» دارد. بر این اساس واضح است که روش مرتبه دوم کمترین تأثیر را بر گرین استوانه‌ای داشته باشد اما با توجه به این که در گرین مربعی  $4$  گوش  $90^\circ$  درجه و در گرین شش‌ضلعی  $6$  گوش  $120^\circ$  درجه وجود دارد، ممکن است تأثیر روش مرتبه دوم بر هر یک بیشتر باشد. ابعاد و طراحی گرین‌های مفروض در جدول (۱) به گونه‌ای است که تأثیر تعداد گوش نسبت به نوع گوش بیشتر است و همان گونه که در شکل (۶) نشان داده است، بیشترین تأثیر روش مرتبه دوم برای گرین شش‌ضلعی رخ می‌دهد (نتیجه f).

بررسی نتایج نشان می‌دهد، روش سطوح هم تراز مرتبه دوم همواره پسروی گرین را با دقت و زمان بالاتری نسبت به روش مرتبه اول تحلیل می‌کند. بنابراین، با مصالحه‌ای بین زمان اجرا و دقت حل پیشنهاد می‌شود، گرین‌هایی که دارای تعداد انحنای زیاد یا انحنایی با شعاع کم هستند را با روش مرتبه دوم و گرین‌های با هندسه هموار را با روش مرتبه اول تحلیل کرد. به منظور بررسی دقیق‌تر موضوع، پسروی چند گرین پیچیده در ادامه مورد بررسی قرار می‌گیرد.

#### تحلیل پسروی گرین‌های پیچیده

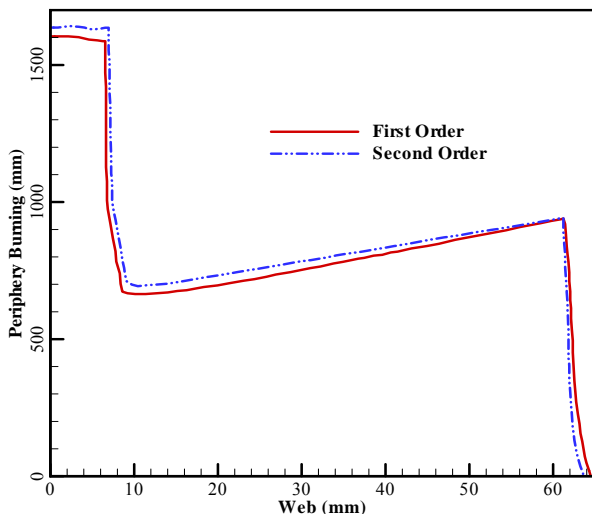
در این تحقیق، منظور از گرین‌های پیچیده، گرین‌هایی است که دارای یکی از ویژگی‌های زیر باشد:

- ✓ انحنایی زیاد و تیز (پیچیدگی هندسه)
- ✓ در حین پسرویش نقاط گوش تشکیل دهد (پیچیدگی هندسه)
- ✓ درون سوز- برون سوز (پیچیدگی تابع سرعت)

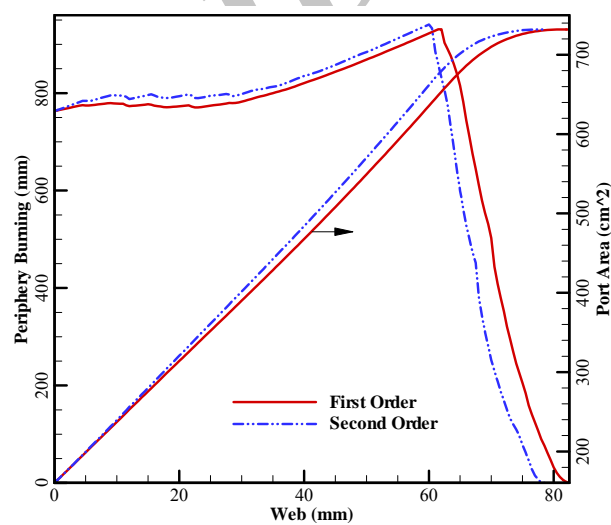
برخی دیگر زیاد است. برای توضیح این علت موضوع، از پروفیل پسروی گرین استفاده می‌شود. همان‌گونه که در شکل (۱۱) مشخص است، در مرحله اول سوزش گرین شاخه‌درختی، پیچیدگی‌ها زیاد است و در نتیجه اختلاف دو روش نیز قابل توجه خواهد بود. در مرحله دوم و پس از اتمام سوزش شاخه‌ها، همچنان تعدادی نقاط گوشه باقی می‌ماند که باعث اختلاف نتایج می‌شود؛ اما رفته رفته تیزی این نقاط کاهش یافته و مرز گرین به شکل دایری نزدیک می‌شود که در نتیجه اختلاف دو روش نیز به کمترین مقدار خود می‌رسد.

به منظور این که اختلاف دو روش قابل نمایش باشد، از شبکه زمینه درشتی استفاده شد، در صورتی که به ازای شبکه‌های ریز اختلاف دو روش کمتر از مقدار نمایش داده شده است.

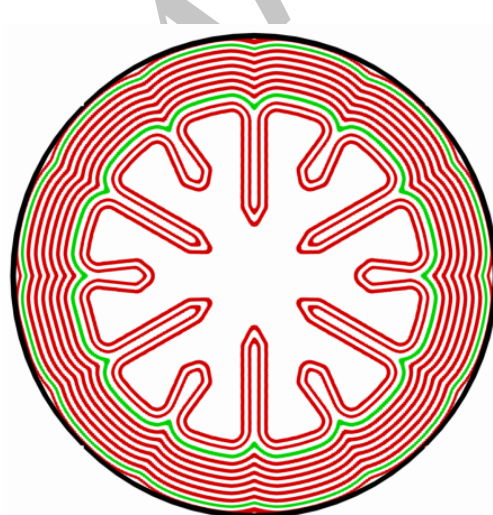
همان‌گونه که شکل (۷-ب) و داده‌های جدول (۴) نشان می‌دهد، گرین شاخه‌درختی مفروض دارای تعداد انحناهای زیاد و با شعاع کم است. از طرف دیگر حین پسروی گرین ستاره یکسری نقاط گوشه به وجود می‌آید، بنابراین، طبق نتایج قبل، انتظار می‌رود روش مرتبه دوم برای تحلیل این دو گرین مقرر باشد. برای بررسی این موضوع ابتدا گرین ستاره با دو روش مرتبه اول و دوم تحلیل می‌شود و تغییرات محیط سوزش و سطح گزگاه جریان به صورت شکل (۸) ترسیم می‌شود. منحنی‌های این شکل نشان می‌دهد، در گام‌های ابتدایی دو روش نتایج مشابه‌ی دارند اما با تشکیل نقاط تیز، نتایج دو روش رفته رفته از هم فاصله می‌گیرند که علت این مسئله را به وضوح می‌توان در شکل (۹) مشاهده کرد.



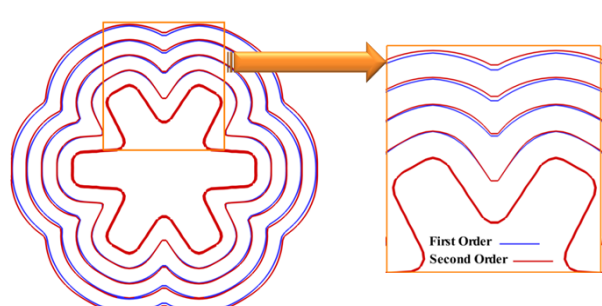
شکل ۷- مقایسه دقت روش سطوح همتراز مرتبه اول و دوم در تحلیل یک گرین شاخه‌درختی



شکل ۸- مقایسه دقت روش سطوح همتراز مرتبه اول و دوم در تحلیل یک گرین ستاره

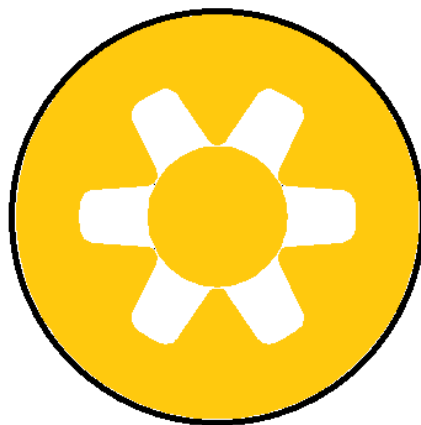


شکل ۹- پروفیل پسروی یک گرین شاخه‌درختی

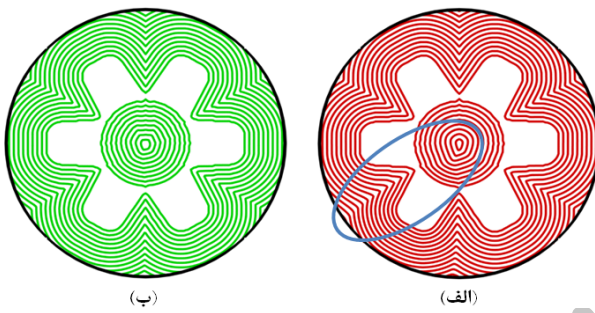


شکل ۱۰- مقایسه پروفیل پسروی گرین ستاره با دو روش سطوح همتراز مرتبه اول و دوم

در ادامه، نتایج پسروی گرین شاخه‌درختی به صورت شکل (۱۰) آرائه می‌شود. بررسی این منحنی‌ها نشان می‌دهد، عملکرد دو روش همواره اختلاف دارند اما مقدار این اختلاف در برخی مناطق کم و در



شکل ۱۲- یک نمونه فرضی برای گرین‌های درون‌سوز- برون‌سوز



شکل ۱۳- پروفیل پسروی گرین مفروض با دو روش (الف) مرتبه اول (ب) مرتبه دوم

بررسی پروفیل‌های پسروی نشان می‌دهد که روش مرتبه اول بر خلاف روش مرتبه دوم در نقاطی از مرز دچار خطا می‌شود. علت این مسئله را می‌توان به عدم توانایی روش مرتبه اول در توصیف مرزهای دو تکه (با تابع سرعت پیچیده)، مربوط دانست. در مجموع بررسی نتایج نشان می‌دهد، روش سطوح هم تراز مرتبه دوم در تحلیل پسروی گرین‌های پیچیده (پیچیدگی هندسی و تابع سرعت) عملکرد مطلوب‌تری نسبت به روش مرتبه اول دارد.

### نتیجه‌گیری

هدف از این تحقیق، پیاده‌سازی و ارزیابی روش سطوح هم تراز مرتبه دوم در تحلیل پسروی گرین‌های دوبعدی بود. بدین منظور با در نظر گرفتن الگوریتمی مناسب، از معادلات مرتبه اول و دوم در روش سطوح هم تراز برای محاسبه پارامترهای پسروی استفاده شد.

برای ارزیابی عملکرد روش مرتبه دوم، ابتدا نتایج عددی این روش با نتایج تحلیلی و روش مرتبه اول مقایسه شد؛ سپس طی دو مرحله عملکرد روش در مواجهه با گرین‌های با هندسه پیچیده و

نکته دیگری که می‌تواند مورد توجه قرار گیرد، زمان اجراست؛ بدین منظور زمان اجرای الگوریتم دو روش به صورت گام به گام بررسی و نتایج به صورت جدول (۵) ارائه می‌شود.

نتایج جدول (۵) از دو جنبه قابل بررسی است؛ اول این که زمان اجرای دو الگوریتم مرتبه اول و دوم در تمام گام‌ها به جز گام ۴ (محاسبه مشخصه‌های بالستیکی) تقریباً یکسان است. نکته دوم هم در این است که اختلاف زمان اجرای کلی دو روش قابل توجه نیست.

جدول ۵- مقایسه زمان اجرای روش سطوح هم تراز مرتبه اول و دوم

گرین	زمان اجرا (sec)					
	۱ گام	۲ گام	۳ گام	۴ گام	۵ گام	کل
روش مرتبه اول						
ستاره	۱/۱	۶	۲۰۶/۱۵	۹۵/۶۹	۰/۰۷	۳۰۹
شاخه- درختی	۴/۱۹	۱۹/۰۴	۸۰۱/۳۱۴	۸۱/۱۹	۰/۴۵	۹۰۶
روش مرتبه دوم						
شاخه- درختی	۴/۱۵	۱۸/۵۱	۱۸۳/۵۸	۱۵۰/۴۹	۰/۱۱	۳۴۱
ستاره	۱/۱۵	۵/۸۸	۱۲۷/۲۸	۱۲۷/۲۸	۰/۳۴	۹۷۷

ارزیابی زمان‌های اجرا و دقت نتایج نشان می‌دهد، برای تحلیل پسروی گرین‌های با پیچیدگی هندسی، بهتر است از روش مرتبه دوم استفاده شود.

### ب) گرین‌های با تابع سرعت پیچیده

در گرین‌های معمولی، مرز از یک منحنی بسته تشکیل شده که با یک سرعت مثبت به سمت بدنه موتور حرکت می‌کند؛ اما در گرین‌های درون‌سوز- برون‌سوز، در هر لحظه، مرز از دو منحنی تشکیل شده که یکی با تابع سرعت مثبت و دیگری با تابع سرعت منفی گسترش می‌یابند. در این قسمت با هدف ارزیابی روش سطوح هم تراز مرتبه دوم در مواجهه با پیچیدگی‌های تابع سرعت، گرینی مرکب از دو هندسه استوانه‌ای برون‌سوز (با شاعع  $46/11$ ) و ستاره‌ای درون‌سوز (با مشخصات جدول ۴) به صورت شکل (۱۲) در نظر گرفته می‌شود.

با تشکیل شبکه اولیه‌ای با  $2939$  گره و  $5344$  المان و شبکه ثانویه‌ای با ابعاد  $272 \times 272$  پسروی گرین مفروض تحلیل می‌شود. برای بررسی عملکرد دو روش، پروفیل پسروی گرین استخراج و به صورت شکل (۱۳) نمایش داده می‌شود.

- Boundaries," *Computational Physics*, Vol. 39, No. 1, 1981, pp. 201-225.
- [7] Kelecy, F.J. and Pletcher, R.H., "The Development of a Free Surface Capturing Approach for Multidimensional Free Surface Flows in Closed Containers," *Computational Physics*, Vol. 138, No. 2, 1997, pp. 939-980.
- [8] Saintout, E., Ribereau, D. and Perrin, P., "ELEA: A Tool for 3D Surface Regression Analysis in Propellant Grains," *25<sup>th</sup> AIAA, ASME, SAE, and ASEE, Joint Propulsion Conference*, Monterey, 1989.
- [9] Hejl, R. J. and Heister, S. D., "Solid Rocket Motor Grain Burnback Analysis Using Adaptive Grids," *30<sup>th</sup> AIAA, ASME, SAE, and ASEE, Joint Propulsion Conference and Exhibit*, Indianapolis, 1994.
- [10] Willcox, M. A., Brewster, M. Q., Tang, K. C., and Stewart, D. S., "Solid Propellant Grain Design and Burnback Simulation Using a Minimum Distance Function," *AIAA-2005-4350, 41<sup>th</sup> AIAA/ASME/SAE/ASEE Joint Propulsion Conference*, Arizona, 2005.
- [11] Favivi, B., Cavallini, E., Di Giacinto, M., and Serraglia, F., "An Ignition-to-Burn Out Analysis of SRM Internal Ballistic and Performances," *AIAA-200805141, 44<sup>th</sup> AIAA/ASME/SAE/ASEE Joint Propulsion Conference*, Hartford, CT, 2008.
- [12] Cavallini, E., Modeling and Numerical Simulation of Solid Rocket Motors Internal Ballistics, (PhD Thesis), of Mechanical and Aeronautical Engineering, Sapienza University, Italy, 2009.
- [13] Ghassemi, H. and Barkordar, A., "Numerical Simulation of Burn-Back in 3D Complicated Grains," *Journal of Space Science & Technology*, Vol. 5, No.1, 2012, pp. 15-28 (In Persian).
- [14] Moshir Estekhareh, S. G., Mostofizadeh, A. and Foladi, N., "3D Numerical Simulation of the Grain Burn-Back in Solid Propellant Rocket Motor Based on Level Set Method," *Journal of Energetic Material*, Vol. 7, No.16, 2012, pp. 29-39 (In Persian).
- [15] Gheisari, M. M. and Mirsajedi, S. M., "Numerical Analysis of the Grain Burn-Back in Solid Propellant Motors Based on Improved Level Set Method," *Journal of Energetic Material*, Vol. 8, No.19, 2013, pp. 57-68 (In Persian).
- [16] Sethian, J. A., *Level Set Methods and Fast Marching Methods*, 2<sup>nd</sup> Edition, Cambridge University Press, Berkeley, 1999.
- [17] Osher, S. and Sethian, J. A., "Fronts Propagating with Curvature Dependent Speed: Algorithms Based on Hamilton-Jacobi Formulations," *Computational Physics*, Vol. 79, No. 1, 1988, pp. 12-49.

گرین‌های درون‌سوز-برون‌سوز مورد ارزیابی قرار گرفت. مهم‌ترین نتایج حاصل از این بررسی‌ها به صورت زیر خلاصه می‌شود:

- روش مرتبه دوم نسبت به ابعاد شبکه حساسیت کمتری داشته و در شبکه‌های درشت نیز دقیق مناسب دارد.
- گرچه روش مرتبه دوم همواره نسبت به روش مرتبه اول دارای زمان اجرای بالاتری است اما در گرین‌های دوبعدی این اختلاف قابل توجه نیست.
- روش مرتبه دوم توانایی بالایی در تحلیل نقاط گوشش دارد و مهم‌ترین اختلاف روش مرتبه اول و دوم در همین مسئله است.
- بهتر است گرین‌هایی که دارای هندسه پیچیده (تعداد انحناهای زیاد یا انحناهایی با شعاع کم) هستند با روش مرتبه دوم و گرین‌های با هندسه هموار با روش مرتبه اول تحلیل شوند.
- به منظور جلوگیری از خطاهای ناخواسته، بهتر است از روش مرتبه دوم برای تحلیل گرین‌های درون‌سوز-برون‌سوز استفاده شود.

در مجموع، نتایج نشان می‌دهد، روش سطوح همتراز مرتبه دوم نسبت به روش مرتبه اول قابلیت‌های بالاتری برای تحلیل گرین دارد، اما با توجه به دشواری پیاده‌سازی و زمان اجرای بالاتر در مقایسه با روش مرتبه اول، بهتر است کاربر با توجه به هندسه گرین، محدودیت‌های زمانی و میزان دقت مورد انتظار بین دو روش مذکور، حالت مناسب را انتخاب کند.

## مراجع

- [1] Toker, K. A., *Three Dimensional Retarding Walls and Flow in Their Vicinity*, (PhD Thesis), Department of Mechanical Engineering, Middle East Technical University, Turkey, 2004.
- [2] Davenas, A., *Solid Rocket Propulsion Technology*, Pergamon Press, New York, 1993.
- [3] Puskulcu, G., *Analysis of 3-D Grain Burnback of Solid Propellant Rocket Motors and Verification with Rocket Motor Tests*, (M.Sc. Thesis), Department of Mechanical Engineering, Middle East Technical University, Turkey, 2004.
- [4] Heidari, M. R. and Adami, A. H., "General Grain Analysis and Rapid Internal Ballistic Simulation for Solid Motor," *Journal of Energetic Material*, Vol. 5, No.10, 2010, pp. 59-72 (In Persian).
- [5] Brackbill, J. U. and Ruppel, H. M., "A Method for Adaptively Zoned, Particle-In-Cell Calculations in Two Dimensions," *Computational Physics*, Vol. 65, No. 2, 1986, pp. 314-343.
- [6] Hirt, C. W. and Nicholas, B. D., "Volume of Fluid (VOF) Method for the Dynamics of Free